

## บทที่ 3

### ສັນປະລິກທິການດ່າຍໂອນມາລຳກວ້າກວ້າກວ້າກວ້າກວ້າເສີຍ

ຫຮູ້ ບຸນຍາກາຍົງນີ້ ແສນສຸຂ ແພ້ອື່ງ<sup>2</sup> ຈຣຍາ ອິນທານີ<sup>3</sup> ແລະ ຈັນທິມາ ຜັ້ງສຶກພຣ<sup>4</sup>

#### Abstract

Bunyakan, C., Seaoung, S., Intamanee, J., and Chungsiriporn, J.

#### Mass Transfer Coefficient for Volatilization of Volatile Organic Compounds from Wastewater

Volatilization of volatile organics compounds (VOCs) from wastewater is recognized as an important source that caused air pollution today. In air pollution management regarding VOCs emission to atmosphere, the amount of VOCs that released from wastewater need to be known. The model for predicting of VOCs volatilized from wastewater is then necessary. The aim of this research is to develop the gas-film ( $k_G a_{,VOC}$ ) and liquid-film ( $k_L a_{,VOC}$ ) mass transfer coefficient from volatilization of VOCs from wastewater. The volatilization experiments were performed in a pilot volatilization tank with a volume of 100 L. The wind speed over the water surface, measured at 10 cm above water surface ( $U_{10\text{cm}}$ ), is the main parameter which investigated in this work. The  $U_{10\text{cm}}$  were varied from 0 to  $4.42 \text{ m s}^{-1}$ . VOCs used in this investigation were methanol toluene and methyl ethyl ketone.

The results revealed that the gas-film coefficient of methanol increased linearly with increasing  $U_{10\text{cm}}$  over the investigated range of  $U_{10\text{cm}}$  where as the liquid-film coefficient of toluene fell into two regimes with a break at the  $U_{10\text{cm}}$  of 2.4 m/s. The correlations of  $k_G a_{,VOC}$  and  $k_L a_{,VOC}$  were developed from gas-film and liquid-film coefficient of methanol and toluene, respectively, and verified by predicting overall mass transfer coefficient ( $K_{OL}a$ ) of MEK. It was found that the correlations of  $k_G a_{,VOC}$  and  $k_L a_{,VOC}$  predicted the mass transfer coefficient of MEK volatilized from wastewater quite well but under estimated that of pure water. Since the mass transfer coefficient of VOCs volatilized from pure water were significant higher than that of wastewater as found in this work. The  $k_G a_{,VOC}$  and  $k_L a_{,VOC}$  developed based on wastewater is recommended for prediction of VOCs emission rate from wastewater rather than the correlation previously developed based on pure water.

---

Key words: VOCs, Volatilization, Mass Transfer Coefficient, MEK, Toluene, Methanol

---

<sup>1</sup>Ph.D. (Chemical Engineering) ผู้ช่วยศาสตราจารย์ <sup>2</sup>วท.บ. (อุตสาหกรรมเคมี) นักศึกษา วิศวกรรมศาสตร์  
มหาบัณฑิต <sup>3</sup>วท.บ. (เคมี) ครุชานาณุการ <sup>4</sup>วศ.ม. (วิศวกรรมเคมี) อาจารย์ ภาควิชาเคมี คณะ  
วิศวกรรมศาสตร์ มหาวิทยาลัยสงขลานครินทร์ อําเภอหาดใหญ่ จังหวัดสงขลา 90112

Corresponding e-mail: charun.b@psu.ac.th

## บทคัดย่อ

การระเหยของสารอินทรีย์ระเหย (volatile organic compounds, VOCs) จากน้ำเสียเป็นแหล่งก่อมลพิษทางอากาศที่สำคัญ ในการจัดการมลพิษทางอากาศที่เกี่ยวข้องกับการปล่อย VOCs สู่บรรยากาศ จำเป็นต้องทราบปริมาณของ VOCs ที่ปล่อยจากกระบวนการบำบัดน้ำเสียด้วย แบบจำลองที่ใช้ในการทำงานของปริมาณการระเหยของ VOCs จากน้ำเสียจึงเป็นสิ่งจำเป็น การวิจัยนี้วัดอุปرسلงค์เพื่อพัฒนาสมการสัมประสิทธิ์ฟิล์มแก๊ส ( $k_{\text{c}, \text{voc}}$ ) และสมการสัมประสิทธิ์ฟิล์มของเหลว ( $k_{\text{l}, \text{a}, \text{voc}}$ ) จากการระเหยของ VOCs จากน้ำเสียจริง โดยทำการทดลองในถังระเหยปริมาตร 100 L ด้วย/per หลักที่ศึกษาคือความเร็วลมเหนือผิวน้ำ ความเร็วลมเฉลี่ยที่ระยะ 10 cm เหนือผิวน้ำ ( $U_{10\text{cm}}$ ) ที่ศึกษามีค่าอยู่ในช่วง  $0\text{--}4.42 \text{ m s}^{-1}$  และ VOCs ที่ใช้ในการศึกษาคือ เมทานอล ทูโลอิน และ เมทิลเอทิลคิโตกอน (Methyl Ethyl Ketone, MEK)

ผลการศึกษาพบว่าสัมประสิทธิ์ฟิล์มแก๊สของเมทานอลเพิ่มขึ้นกับ  $U_{10\text{cm}}$  ที่เพิ่มขึ้นแบบเชิงเส้นลดลงช่วงของ  $U_{10\text{cm}}$  ที่ศึกษา ในขณะที่สัมประสิทธิ์ฟิล์มของเหลวของทูโลอินแบ่งออกเป็นสองช่วง โดยมีจุดเปลี่ยนที่  $U_{10\text{cm}}$  เท่ากับ  $2.4 \text{ m s}^{-1}$  สมการของ  $k_{\text{c}, \text{voc}}$  และสมการของ  $k_{\text{l}, \text{a}, \text{voc}}$  ถูกพัฒนาขึ้นจากข้อมูลการระเหยของเมทานอลและของทูโลอินจากน้ำเสียตามลำดับและได้ตรวจสอบความถูกต้องของสมการดังกล่าวโดยใช้การทำนายสัมประสิทธิ์การถ่ายโอนมวลรวมของ MEK ที่ระเหยจากน้ำเสีย ( $K_{\text{OL}, \text{a}}$ ) ผลการตรวจสอบพบว่าสมการ  $k_{\text{c}, \text{voc}}$  และ  $k_{\text{l}, \text{a}, \text{voc}}$  ที่พัฒนาขึ้นจากการระเหยของ VOCs จากน้ำเสียทำนาย  $K_{\text{OL}, \text{a}}$  ของ MEK ที่ระเหยจากน้ำเสียได้ดีแต่ทำนาย  $K_{\text{OL}, \text{a}}$  ของ MEK ที่ระเหยจากน้ำบริสุทธิ์ต่ำกว่าค่าที่วัดได้จริง เนื่องจากผลการศึกษานี้พบว่า  $K_{\text{OL}, \text{a}}$  ของ VOCs ที่ระเหยจากน้ำบริสุทธิ์มีค่าสูงกว่า  $K_{\text{OL}, \text{a}}$  ของ VOCs ที่ระเหยจากน้ำเสียมาก สมการ  $k_{\text{c}, \text{voc}}$  และสมการ  $k_{\text{l}, \text{a}, \text{voc}}$  ที่พัฒนาขึ้นจากการระเหยของ VOCs จากน้ำเสียจริงในการศึกษานี้ จึงเหมาะสมสำหรับใช้ทำการระเหยของ VOC จากน้ำเสียมากกว่าการใช้สมการที่พัฒนาขึ้นมาจากการระเหยของ VOCs จากน้ำบริสุทธิ์ที่มีรายงานไว้ทั่วไป

## บทนำ

สารอินทรีรั่วไหล (volatile organic compounds, VOCs) เป็นสารเคมีที่มิใช้ทั่วไปในอุตสาหกรรมประเภทต่างๆ เช่น อุตสาหกรรมปิโตรเคมี อุตสาหกรรมการผลิตสี อุตสาหกรรมพลาสติกและพอลิเมอร์ และอุตสาหกรรมกระดาษ เป็นต้น นอกจากจะใช้ในอุตสาหกรรมขนาดใหญ่ข้างต้นแล้วพบว่ายังมีการใช้ VOCs ในกิจกรรมอื่นๆ ที่อยู่ใกล้ตัวเราอีกมาก ได้แก่ การเคลือบผิว เช่น อยู่เค้าพ่นสีร่องรอย และโรงงานผลิตเฟอร์นิเจอร์ การกำจัดสารหล่อลื่น เช่น การใช้ตัวทำละลายเพื่อถังชิ้นส่วนต่างๆ ของเครื่องจักรในการซ่อมบำรุงของโรงงานอุตสาหกรรมทั้งขนาดเล็กและขนาดใหญ่ การผลิตสีพิมพ์ เช่นการพิมพ์หนังสือ การพิมพ์บรรจุภัณฑ์ และการพิมพ์สื่อโฆษณาต่างๆ การซักแห้ง และการเก็บและจ่ายผลิตภัณฑ์ผลิตภัณฑ์ปิโตรเลียม เช่นคลังน้ำมันและสถานีบริการน้ำมันเป็นต้น การดำเนินการในอุตสาหกรรมหรือกิจกรรมข้างต้นจะส่งผลให้มีการปนเปื้อนของ VOCs ในน้ำใช้ในกระบวนการซึ่งในที่สุด VOCs ส่วนหนึ่งจะถูกถ่ายโอนไปอยู่ในน้ำเสียของโรงงานอุตสาหกรรม หรือในน้ำเสียของระบบบำบัดน้ำเสียของชุมชน ดังนั้นการระเหยของ VOCs จากระบบบำบัดน้ำเสียจึงเป็นแหล่งกำเนิดของมลพิษทางอากาศที่สำคัญและได้มีการศึกษาเรื่องนี้กันมาเป็นเวลานานกว่า 20 ปี และยังมีการศึกษาวิจัยเรื่องนี้อย่างต่อเนื่องจนกระทั่งปัจจุบัน (Hwang, 1981; Mackay et al., 1983; Corsi, 1991; Sedek et al., 1996; Aneja et al., 2001; Escalas et al., 2003; Lin et al., 2004) การระเหยของ VOCs จากระบบบำบัดน้ำเสียมีผลกระทบต่อสุขภาพของสิ่งมีชีวิตทั้งคน สัตว์ และพืชโดยตรง โดยความรุนแรงเนื่องจากความเป็นพิษของ VOCs ต่อสุขภาพของสิ่งมีชีวิตนั้นจะขึ้นอยู่กับชนิดและปริมาณของ VOCs ที่ระเหยสู่อากาศและขึ้นอยู่กับระยะเวลาที่สิ่งมีชีวิตสัมผัสกับ VOCs ด้วย การที่จะต้องทราบถึงปริมาณของ VOCs ที่ระเหยจากน้ำเสียในช่วงเวลาใดที่สนใจจึงเป็นสิ่งจำเป็นสำหรับการหาแนวทางเพื่อป้องกันมลพิษทางอากาศอันเนื่องจากการระเหยของ VOCs จากน้ำเสีย

## การระเหยของสารอินทรีรั่วไหลจากน้ำเสีย

อัตราการระเหยของสารอินทรีรั่วไหลจากน้ำเสียเช่นจากบ่อน้ำบัดน้ำเสียขนาดใหญ่ สามารถวัดได้โดยตรงโดยใช้อุปกรณ์ที่เรียกว่าฟลักซ์แชนเนอร์ (flux chamber) หรือใช้วิธีประมาณโดยการคำนวณจากความเสี่ยงขั้นของ VOC ในน้ำเสีย วิธีหลังจะนิยมมากกว่าวิธีแรก เพราะสามารถทำนายอัตราการระเหยของ VOC เมื่อสภาวะแวดล้อมเปลี่ยนแปลงไปได้สะดวกกว่า วิธีการคำนวณอัตราการระเหยของ VOC ที่เป็นที่ยอมรับและใช้กันมานานคือการประยุกต์ใช้ทฤษฎีสองฟิล์มของ Whitman (อ้างโดย Treybal, 1980) อัตราการระเหยของ VOC จากน้ำเสียแสดงได้ดังสมการ

$$R_{VOC} = K_{OL} a_{VOC} C_{VOC} \quad (1)$$

เมื่อ  $R_{VOC}$  คืออัตราการระเหยของ VOC จากน้ำเสีย ( $\text{mol s}^{-1}$ )  $C_{VOC}$  คือความเสี่ยงขั้นของ VOC นั้นๆ ในน้ำเสีย ( $\text{mol m}^{-3}$ )  $K_{OL} a_{VOC}$  คือสัมประสิทธิ์การถ่ายโอนมวลรวมของ VOC ( $\text{m}^3 \text{s}^{-1}$ ) ซึ่งขึ้นอยู่กับสัมประสิทธิ์ฟิล์มแก๊สสัมประสิทธิ์ฟิล์มของเหลว และค่าคงที่ของ VOC ตามสมการ (2)

$$\frac{1}{K_{OL}a_{,VOC}} = \frac{1}{k_L a_{,VOC}} + \frac{RT}{H k_G a_{,VOC}} \quad (2)$$

เมื่อ  $k_L a_{,VOC}$  คือสัมประสิทธิ์พิล์มนของเหลวของ VOC ( $m^3 s^{-1}$ )  $k_G a_{,VOC}$  คือสัมประสิทธิ์พิล์มนแก๊สของ VOC ( $m^3 s^{-1}$ ) H คือค่าคงที่เขนรีของ VOC (atm  $m^3 mol^{-1}$ ) T คืออุณหภูมิสัมบูรณ์ (K) และ R คือค่าคงที่สากลของแก๊ส (atm  $m^3 mol^{-1} K^{-1}$ ) เมื่อวันกิจจิทางกายท่านได้เสนอสมการสำหรับหาค่าสัมประสิทธิ์พิล์มนแก๊สและค่าสัมประสิทธิ์พิล์มนของเหลวสำหรับใช้หาค่า  $K_{OL}a_{,VOC}$  ไว้ด้วยรูปแบบเดียวกันการที่มีอยู่ทั้งหมดคือพัฒนาขึ้นจากข้อมูลที่ได้จากการระเหยของ VOC จากน้ำบริสุทธิ์ (Mackay and Yeun, 1983; Lunney et al., 1985; Liss and Merlivat, 1986; Bunyakan et al., 2001; ) ซึ่งมีคุณสมบัติที่แตกต่างไปน้ำเสียงมาก Bunyakan et al (2005) พบว่าสัมประสิทธิ์การถ่ายโอนมวลรวมของ MEK ลดลงอย่างมีนัยสำคัญกับปริมาณของแข็งแขวนลอย (suspended solid) ในน้ำเสียง ดังนั้นการใช้สมการ  $k_L a_{,VOC}$  และ  $k_G a_{,VOC}$  ที่พัฒนาขึ้นมาจากการระเหยของ VOCs จากน้ำบริสุทธิ์มาทำนายค่าสัมประสิทธิ์การถ่ายโอนมวลรวมของ VOCs ที่ระเหยจากน้ำเสียงจะทำให้ได้ค่าสัมประสิทธิ์การถ่ายโอนมวลรวมของ VOCs ที่สูงกว่าความเป็นจริง งานวิจัยนี้จึงทำการศึกษาเพื่อพัฒนาสมการ  $k_L a_{,VOC}$  และ  $k_G a_{,VOC}$  ขึ้นมาใหม่โดยทำการศึกษาหาค่าสัมประสิทธิ์ดังกล่าวโดยการทดลองระเหย VOCs จากน้ำเสียง วัดคุณภาพองค์หลักของงานวิจัยนี้เพื่อพัฒนาและตรวจสอบความถูกต้องของสมการสัมประสิทธิ์พิล์มนแก๊สและสัมประสิทธิ์พิล์มนของเหลวที่ได้จากการระเหยของ VOCs จากน้ำเสียง สมการสัมประสิทธิ์พิล์มนแก๊สและสัมประสิทธิ์พิล์มนของเหลวที่ได้จากการระเหยของ VOCs จากน้ำเสียงจะสามารถนำไปใช้ในการระเหยของ VOCs จากน้ำเสียวได้

## ทฤษฎีและหลักการ

### วิธีการการหาค่าสัมประสิทธิ์การถ่ายโอนมวลรวม, $K_{OL}a_{,VOC}$

การหาค่าสัมประสิทธิ์การถ่ายโอนมวลรวมของ VOCs ที่ระเหยจากน้ำเสียงใช้วิธีการเดียวกับการหาสัมประสิทธิ์การถ่ายโอนมวลรวมจากการระเหยของ VOCs จากน้ำ ที่ได้รายงานไว้ทั่วไป (Bunyakan et al., 2001) โดยที่  $K_{OL}a_{,VOC}$  สามารถหาค่าได้จากข้อมูลความเข้มข้นของ VOCs ในระบบที่ศึกษาที่เวลาต่างๆ ดังสมการ (3)

$$-\ln \frac{C_{VOC}}{C_{VOC,0}} = \frac{K_{OL}a_{,VOC}}{V} t \quad (3)$$

เมื่อ V คือปริมาตรของน้ำเสียที่มี VOC ละลายอยู่ ( $m^3$ )  $C_{VOC,0}$  คือความเข้มข้นของ VOC ในน้ำเสียที่เวลาเริ่มต้น ( $mol m^{-3}$ )  $C_{VOC}$  คือความเข้มข้นของ VOC ในน้ำเสียที่เวลาใดๆ ( $mol m^{-3}$ ) และ t คือเวลาที่ใช้ในการระเหยของ VOC จากสมการ (3) สามารถหาค่า  $K_{OL}a_{,VOC}$  ได้จากการคำนวณกราฟที่พล็อกระหว่าง  $-\ln (C_{VOC}/C_{VOC,0})$  กับ t คือ

$$K_{OL}a_{,VOC} = VS \quad (4)$$

เมื่อ  $S$  คือความชันของกราฟ ( $s^{-1}$ ) คั่งนี้โดยการวัดความเพิ่มขึ้นของ VOCs ที่เวลาต่างๆ ตลอดกระบวนการระเหยภายใต้สภาวะที่สนิท ก็จะสามารถหาค่า  $K_{OL}a_{VOC}$  ภายใต้สภาวะนี้ได้

### วิธีการการหาค่าสัมประสิทธิ์ฟิล์มแก๊ส, $k_G a_{VOC}$

สัมประสิทธิ์ฟิล์มแก๊สหาค่าได้จากสัมประสิทธิ์การถ่ายโอนมวลรวมของ VOCs ที่มีความสามารถในการละลายน้ำสูงหรือมีค่าคงที่ของเอนร์ด้าโดยที่  $H < 5 \times 10^6 \text{ atm m}^3 \text{ mol}^{-1}$  (Mackay et al., 1979) ในกรณีที่น้ำมีค่าคงที่ของ VOCs ต่ำกว่า  $5 \times 10^6 \text{ atm m}^3 \text{ mol}^{-1}$  ให้ใช้สัมประสิทธิ์ฟิล์มแก๊สจากกระบวนการระเหยของเมทานอลจากน้ำเสียความสัมพันธ์ระหว่างสัมประสิทธิ์การถ่ายโอนมวลรวมของเมทานอลกับสัมประสิทธิ์ฟิล์มแก๊สของเมทานอลดังสมการ (5)

$$k_G a_{MeOH} = \frac{RTK_{OL} a_{MeOH}}{H} \quad (5)$$

เมื่อ  $k_G a_{MeOH}$  คือสัมประสิทธิ์ฟิล์มแก๊สของเมทานอล ( $\text{m}^3 \text{ s}^{-1}$ )  $K_{OL} a_{MeOH}$  คือสัมประสิทธิ์การถ่ายโอนมวลรวมของเมทานอล ( $\text{m}^3 \text{ s}^{-1}$ )  $H$  คือค่าคงที่เอนร์ด้าของ VOC ( $\text{atm m}^3 \text{ mol}^{-1}$ )  $T$  คืออุณหภูมิสัมบูรณ์ ( $\text{K}$ ) และ  $R$  คือค่าคงที่สากลของแก๊ส ( $\text{atm m}^3 \text{ mol}^{-1} \text{ K}^{-1}$ ) จากสมการที่ (5) ในการหาค่า  $k_G a_{MeOH}$  สำหรับกระบวนการระเหยของเมทานอลจากน้ำเสียจำเป็นต้องทราบค่า  $H$  ของเมทานอลในน้ำเสียซึ่งไม่มีข้อมูลรายงานไว้และในการศึกษานี้ไม่ได้ทำการทดลองเพื่อหาค่า  $H$  จึงยังคงใช้ค่า  $H$  ที่ได้จากการศึกษาโดยใช้น้ำบริสุทธิ์ที่มีรายงานไว้ทั่วไป (Zierold, 1996) เมน้ำค่า  $H$  ที่ใช้ยังเป็นค่าที่ได้จากน้ำบริสุทธิ์ แต่การใช้ค่า  $K_{OL} a_{MeOH}$  ที่ได้จากการทดลองโดยใช้น้ำเสียจริงจะทำให้ค่า  $k_G a_{MeOH}$  ที่ได้มีความเหมาะสมที่จะนำไปประยุกต์ใช้เพื่อหาค่า  $k_G a_{VOC}$  ของ VOC โดย  $k_G a_{VOC}$  สามารถหาค่าได้โดยใช้เมทานอลเป็นสารอ้างอิงและใช้สัมประสิทธิ์การแพร่เป็นตัวปรับแก้ตามวิธีที่มีรายงานไว้ก่อนหน้านี้ (Bunyakan, 1998)

$$k_G a_{VOC} = k_G a_{MeOH} \left( \frac{D_{VOC-air}}{D_{MeOH-air}} \right)^n \quad (6)$$

เมื่อ  $k_G a_{VOC}$  คือสัมประสิทธิ์ฟิล์มแก๊สของ VOC ( $\text{m}^3 \text{ s}^{-1}$ )  $D_{VOC-air}$  และ  $D_{MeOH-air}$  คือสัมประสิทธิ์การแพร่ของ VOCs และของเมทานอล ( $\text{cm}^2 \text{ s}^{-1}$ ) ในอากาศ ตามลำดับ  $n$  คือค่าคงที่ สำหรับทฤษฎีฟิล์มของ Whitman (อ้างโดย Treybal, 1980)  $n$  มีค่าเท่ากับ 1.0

### วิธีการการหาค่าสัมประสิทธิ์ฟิล์มของเหลว, $k_L a_{VOC}$

สัมประสิทธิ์ฟิล์มของเหลวหาค่าได้จากสัมประสิทธิ์การถ่ายโอนมวลรวมของ VOC ที่มีความสามารถในการละลายน้ำต่ำซึ่งคือ VOC ที่มีค่าคงที่ของเอนร์สูง ( $H > 5 \times 10^3 \text{ atm m}^3 \text{ mol}^{-1}$ ) (Mackay et al., 1979) ในการทดลองนี้เลือกวัดสัมประสิทธิ์ฟิล์มของเหลวจากการระเหยของทูโลอินจากน้ำเสีย ความสัมพันธ์ระหว่างสัมประสิทธิ์การถ่ายโอนมวลรวมของทูโลอินกับสัมประสิทธิ์ฟิล์มของเหลวของทูโลอินแสดงดังสมการ (7)

$$k_L a_{Toluene} = K_{OL} a_{Toluene} \quad (7)$$

เมื่อ  $k_L a_{Toluene}$  คือสัมประสิทธิ์ฟิล์มของเหลวของทูลோอลีน ( $m^3 s^{-1}$ )  $K_{OL} a_{Toluene}$  คือสัมประสิทธิ์การถ่ายโอนมวลรวมของทูลோอลีน ( $m^3 s^{-1}$ ) เมื่อได้ค่า  $k_L a_{Toluene}$  ก็สามารถหาค่า  $k_L a_{VOC}$  ได้โดยใช้ทูลோอลีนเป็นสารตัวอย่างและใช้สัมประสิทธิ์การแพร่เป็นตัวปรับแก้ตามวิธีที่มีรายงานไว้ก่อนหน้านี้ (Bunyakan, 1998) จะได้ว่า

$$k_L a_{VOC} = k_L a_{Toluene} \left( \frac{D_{VOC-water}}{D_{Toluene-water}} \right)^n \quad (8)$$

เมื่อ  $k_L a_{VOC}$  คือสัมประสิทธิ์ฟิล์มของเหลวของ VOC ( $m^3 s^{-1}$ )  $D_{VOC-water}$  และ  $D_{Toluene-water}$  คือสัมประสิทธิ์การแพร่ของ VOC และของทูลோอลีน ( $cm^2 s^{-1}$ ) ในน้ำ ตามลำดับ และ  $n$  คือค่าคงที่สำหรับทฤษฎีฟิล์ม  $n$  มีค่าเท่ากับ 1.0 เมื่อทราบค่า  $k_L a_{VOC}$  และ  $k_L a_{VOC}$  แล้วจะสามารถคำนวณสัมประสิทธิ์การถ่ายโอนมวลรวมของ VOC ได้ โดยใช้สมการ (2) และจะสามารถคำนวณอัตราการระเหยและฟลักซ์การระเหยของ VOC ได้ดังสมการ (1) และสมการ (9) ตามลำดับ

$$N_{VOC} = \frac{R_{VOC}}{A} \quad (9)$$

เมื่อ  $N_{VOC}$  คือฟลักซ์การระเหยของ VOC จากน้ำเสีย ( $mol s^{-1} m^2$ )  $R_{VOC}$  คืออัตราการระเหยของ VOC จากน้ำเสีย ( $mol s^{-1}$ ) และ  $A$  คือพื้นที่ของการระเหย ( $m^2$ )

### อุปกรณ์ และวิธีการทดลอง

การศึกษาการระเหยของ VOCs จากน้ำเสียกระทำในชุดทดลองขนาดต้นแบบที่ประกอบด้วยถังระเหย (ขนาดกว้าง 1 m กว้าง 0.5 m และสูง 0.2 m) และระบบจัดองกรະแสงนําโดยใช้พัดลมขนาดใหญ่ที่สามารถส่งอากาศได้สูงสุดถึง 3000 CFM ติดตั้งอยู่เหนือน้ำที่ปลายด้านหนึ่งของถังระเหยดังแสดงใน Figure 1 ปัจจัยหลักที่มีผลต่อการระเหยของ VOCs จากน้ำเสียคือความเร็วลมเหนือผิวน้ำ การศึกษานี้จึงให้ความสนใจกับปัจจัยดังกล่าวเป็นหลัก การศึกษานี้ใช้ความเร็วลมที่ 10cm เหนือผิวน้ำเป็นจุดอ้างอิง ทำการวัดความเร็วลมที่ระดับชั้นอิงนี้จำนวน 15 จุดกระจายทั่วผิวน้ำและหาค่าเฉลี่ย ความเร็วลมเฉลี่ยที่ระดับ 10cm ( $U_{10cm}$ ) ที่ศึกษามีค่าอยู่ในช่วง  $0-4.42 m s^{-1}$  ในขณะที่อุณหภูมิของน้ำและอุณหภูมิของอาคารมีค่าคงที่อยู่ในช่วง  $29\pm1 ^\circ C$  และ  $31\pm1 ^\circ C$  ตามลำดับ ค่า BOD<sub>5</sub>, COD และ SS ของน้ำเสียที่ใช้ในการศึกษามีค่าอยู่ในช่วง  $50-98 mg L^{-1}$ ,  $2320-2960 mg L^{-1}$  และ  $27-38 mg L^{-1}$  ตามลำดับ VOCs ที่ใช้ในการศึกษาก็คือ เมทานอล ทูลோอลีน และ เมทิลเคนติก็โคน (Methyl Ethyl Ketone, MEK) เมทานอลถูกเลือกใช้เพื่อหาค่าสัมประสิทธิ์ฟิล์มแก๊ส ทูลோอลีนถูกเลือกใช้เพื่อหาสัมประสิทธิ์ฟิล์มของเหลว และ MEK ถูกเลือกเพื่อใช้ตรวจสอบความถูกต้องของสัมประสิทธิ์ฟิล์มแก๊สและสัมประสิทธิ์ฟิล์มของเหลวเพื่อความต้านทานต่อการระเหยของ MEK จากน้ำเสียนี้อยู่ในทั้งสองวัյภากอปางมีนัยสำคัญ ความเข้มข้นเริ่มต้นของ VOCs ในน้ำเสียที่ใช้แสดงดัง Table 1 ถึง Table 3

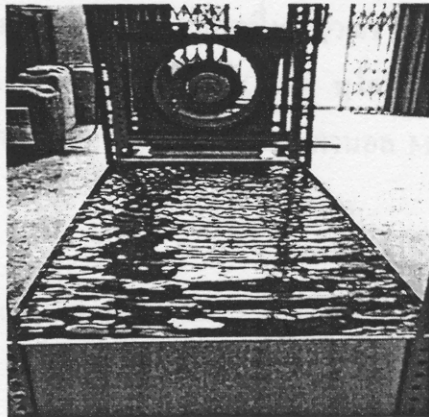


Figure 1 Pilot volatilization tank equipped with a wind generated system

การทดลองเริ่มต้นด้วยการเตรียมสารละลายน้ำเสียให้มีความเข้มข้นตามต้องการและมีปริมาตรของน้ำเสียรวมเท่ากับ 100 L เติมสารละลายน้ำเสียที่ผสมกันดีแล้วลงในถังระเหย เก็บตัวอย่างน้ำเสียเพื่อวิเคราะห์หาความเข้มข้นของ VOC เริ่มต้น เปิดพัดลมให้มีกระแสลมพัดผ่านผิวน้ำและเก็บตัวอย่างน้ำเสียจากถังระเหยตามระยะเวลาที่กำหนดเพื่อวิเคราะห์หาความเข้มข้นของ VOC ที่เวลาใดๆ การวิเคราะห์ความเข้มข้นของ VOC ในน้ำเสียใช้แก๊สโคมไฟกราฟี (model HP9806, Hewlett Packard) โดยมีสภาวะสำหรับการวิเคราะห์คือ อุณหภูมิของอินเจกเตอร์ (injector) เท่ากับ  $180^{\circ}\text{C}$  อุณหภูมิของดีแทกเตอร์ (Detector) เท่ากับ  $200^{\circ}\text{C}$  และอุณหภูมิ คอลัมน์เท่ากับ  $50^{\circ}\text{C}$  คอลัมน์ที่ใช้เป็น capillary คอลัมน์ (HP-FAAP, Polyethylene glycol-TPA modified, Hewlett Packard) ขนาดเส้นผ่านศูนย์กลาง  $0.25 \text{ mm}$  ยาว  $30 \text{ m}$ . อัตราการไหลของชีลีมเท่ากับ  $0.2 \text{ mL min}^{-1}$  นำข้อมูลความเข้มข้นรวมของ VOC ที่เปลี่ยนไปกับเวลามาใช้หาสัมประสิทธิ์การถ่ายโอนมวลรวมตามสมการ (3) หาสัมประสิทธิ์ฟิล์มแก๊สจากสมการ (6) และหาสัมประสิทธิ์ฟิล์มของเหลวจากสมการ (8) จากนั้นจึงทำการวิเคราะห์หาสมการแสดงความสัมพันธ์ระหว่างความเร็วลมกับสัมประสิทธิ์ฟิล์มแก๊ส และสัมประสิทธิ์ฟิล์มของเหลวของ VOC และตรวจสอบความถูกต้องของสมการดังกล่าว

## ผลการทดลองและวิจารณ์

### สัมประสิทธิ์การถ่ายโอนมวลรวมของ VOC, $K_{\text{ol}} a_{\text{voc}}$

สัมประสิทธิ์การถ่ายโอนมวลรวมของ VOC ในกระบวนการระเหยจากน้ำเสียที่สภาวะการทดลองดังๆ หาค่าได้จากการวัดความเข้มข้นของ VOC ในน้ำเสียที่เวลาต่างๆ แล้วทำการแปลงจากข้อมูลของความเข้มข้นเป็นค่าสัมประสิทธิ์การถ่ายโอนมวลรวมโดยใช้สมการ (3) Figure 2 แสดงลักษณะโดยทั่วไปของกราฟที่พล็อตระหว่าง  $-\ln(C_{\text{voc}}/C_{\text{voc},0})$  กับ  $t$  สำหรับการระเหยของเทนนอล MEK และทูลอีนจากน้ำเสียที่ความเร็วลมหนึ่อผิวน้ำเท่ากับ  $2.81 \text{ m s}^{-1}$  จาก Figure 2 ความชันของกราฟ  $-\ln(C_{\text{voc}}/C_{\text{voc},0})$  กับ  $t$  ของเมทานอล เมทิลเอทิลกีโตัน และทูลอีนเท่ากับ  $5.535 \times 10^{-4}$ ,  $1.553 \times 10^{-3}$  และ  $2.532 \times 10^{-3} \text{ min}^{-1}$  ในขณะที่ปริมาตรของน้ำเสียในถัง

ระเหยเท่ากับ  $0.1 \text{ m}^3$  ดังนั้น  $K_{OL,a,voc}$  ภายใต้สภาวะดังกล่าวซึ่งคำนวณจากสมการ (4) คือ  $9.23 \times 10^{-7}$ ,  $2.59 \times 10^{-6}$  และ  $4.22 \times 10^{-6} \text{ m}^3 \text{ s}^{-1}$  การหาค่า  $K_{OL,a}$  ของเมทานอล MEK และ ทูโลอินที่สภาวะการทดลองอื่นๆ ใช้วิธีการวิเคราะห์ข้อมูลเช่นเดียวกันกับที่ได้แสดงข้างต้น ค่า  $K_{OL,a}$  ของเมทานอล MEK และของทูโลอินที่ความเร็วลมต่างๆ แสดงเปรียบเทียบกันใน Figure 3

Table 1 Experimental conditions for studying the influence of wind speed on volatilization rate of methanol from wastewater

Run No.	$U_{10cm} (\text{m s}^{-1})$	$T_{water} (\text{ }^\circ\text{C})$	Initial concentration of methanol in wastewater ( $\text{mg L}^{-1}$ )
1	0.00	$29 \pm 1$	1330
2	0.43	$29 \pm 1$	1259
3	1.86	$29 \pm 1$	1164
4	2.40	$29 \pm 1$	1376
5	2.81	$29 \pm 1$	1053
6	3.43	$29 \pm 1$	1236
7	4.42	$29 \pm 1$	1068

Table 2 Experimental conditions for studying the influence of wind speed on volatilization rate of toluene from wastewater

Run No.	$U_{10cm} (\text{m s}^{-1})$	$T_{water} (\text{ }^\circ\text{C})$	Initial concentration of methanol in wastewater ( $\text{mg L}^{-1}$ )
8	0.00	$29 \pm 1$	269
9	0.43	$29 \pm 1$	280
10	1.86	$29 \pm 1$	259
11	2.40	$29 \pm 1$	268
12	2.81	$29 \pm 1$	228
13	3.43	$29 \pm 1$	249
14	4.42	$29 \pm 1$	268

Table 3 Experimental conditions for studying the influence of wind speed on volatilization rate of MEK from wastewater

Run No.	$U_{10\text{cm}}$ ( $\text{m s}^{-1}$ )	$T_{\text{water}}$ ( $^{\circ}\text{C}$ )	Initial concentration of MEK in wastewater ( $\text{mg L}^{-1}$ )
15	0.00	$29 \pm 1$	759
16	0.43	$29 \pm 1$	718
17	1.86	$29 \pm 1$	698
18	2.40	$29 \pm 1$	1091
19	2.81	$29 \pm 1$	621
20	3.43	$29 \pm 1$	600
21	4.42	$29 \pm 1$	365

หมายเหตุ: MEK ถูกเลือกใช้เพื่อตรวจสอบความถูกต้องของสัมประสิทธิ์ฟิล์มแก๊สและสัมประสิทธิ์ฟิล์มของเหตุความเข้มข้นเริ่มต้นที่ใช้จึงเลือกให้กรอบคุณทั้งในช่วงความเข้มข้นต่า ปานกลาง และสูง

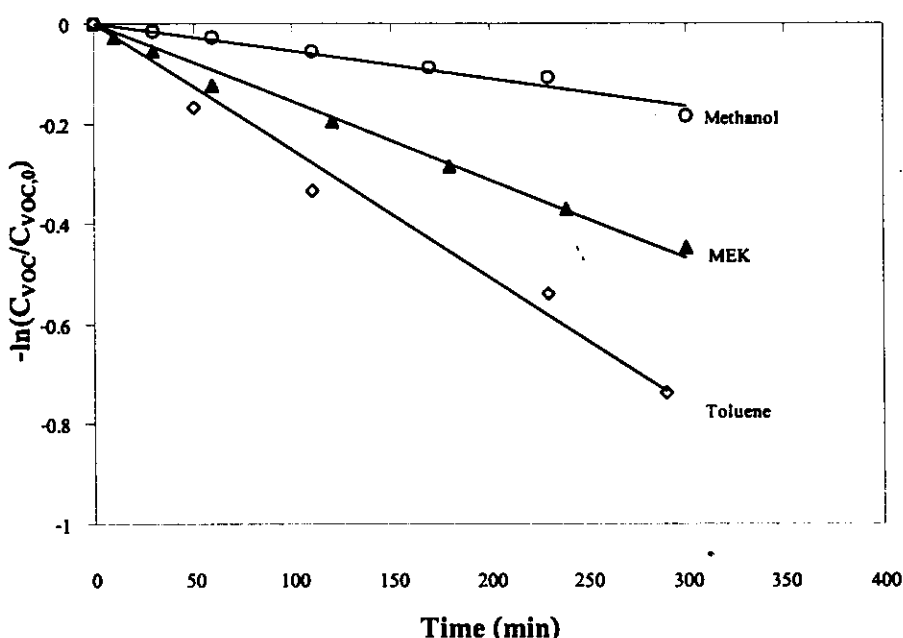


Figure 2. Typical plot of  $-\ln(C_{\text{voc}}/C_{\text{voc},0})$  versus  $t$  for volatilization of methanol, MEK, and toluene from wastewater ( $T_{\text{wastewater}} = 29 \pm 1 ^{\circ}\text{C}$ , water depth = 20 cm and wastewater properties: BOD 50-98 mg/L, COD = 2320-2960 mg/L and SS = 27-38 mg/L)

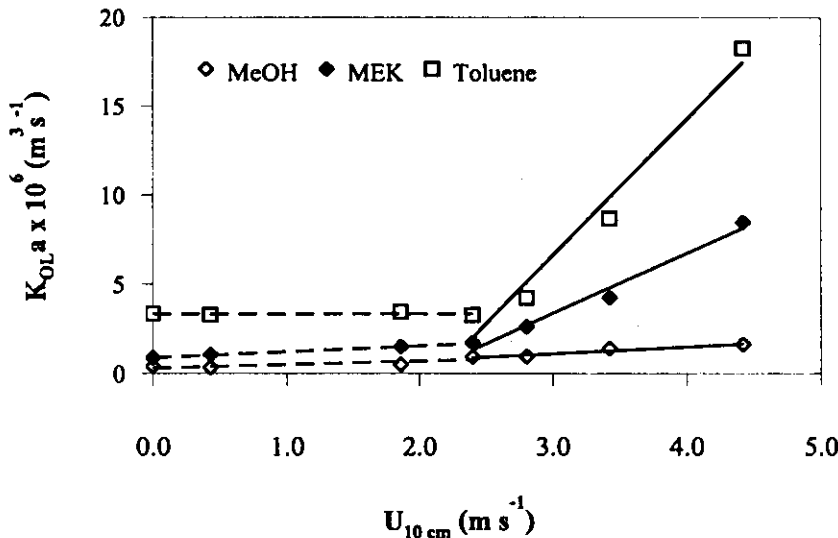


Figure 3.  $K_{\text{OL}}a$  of methanol MEK and toluene as a function of wind speed ( $T_{\text{wastewater}} = 29 \pm 1^\circ\text{C}$ , water depth = 20 cm and wastewater properties: BOD 50-98 mg/L, COD = 2320-2960 mg/L and SS = 27-38 mg/L)

จาก Figure 3 จะเห็นได้ว่า  $K_{\text{OL}}a$  ของเมทานอลมีค่าต่ำสุด  $K_{\text{OL}}a$  ของทูโลอินมีค่าสูงสุดและ  $K_{\text{OL}}a$  ของ MEK มีค่าอยู่ระหว่างของเมทานอลและของทูโลอินในทุกความเร็วลมที่ศึกษา ผลการทดลองสอดคล้องกับลักษณะของ VOC คือทูโลอินเป็นสารอินทรีย์ระเหยที่มีค่าคงที่ของเขนรีสูงสุดจึงสามารถระเหยจากน้ำได้เร็ว ( $H$  ของทูโลอินที่  $25^\circ\text{C}$  เท่ากับ  $6.68 \times 10^{-3} \text{ atm m}^3 \text{ mol}^{-1}$  (Mackay and Leinonen, 1975)) ในขณะที่เมทานอลเป็นสารอินทรีย์ที่มีค่าคงที่ของเขนรีต่ำสุดจึงระเหยจากน้ำได้ยากที่สุด ( $H$  ของเมทานอลที่  $25^\circ\text{C}$  เท่ากับ  $5.05 \times 10^{-6} \text{ atm m}^3 \text{ mol}^{-1}$  (Zierold, 1996)) ส่วนค่าคงที่เขนรีของ MEK อยู่ระหว่างของเมทานอลและทูโลอิน ( $H$  ของ MEK ที่  $25^\circ\text{C}$  เท่ากับ  $6.39 \times 10^{-5} \text{ atm m}^3 \text{ mol}^{-1}$  (Zierold, 1996)) ความสามารถในการระเหยจากน้ำจึงอยู่ระหว่างเมทานอลและทูโลอิน

เมื่อพิจารณาผลของความเร็วลมต่อค่า  $K_{\text{OL}}a$  ของ VOC แต่ละชนิดพบว่าในช่วงของความเร็วลมต่ำๆ  $U_{10\text{cm}} \leq 2.4 \text{ m s}^{-1}$  ค่า  $K_{\text{OL}}a$  ของเมทานอลค่อนข้างเพิ่มขึ้นกับความเร็วที่เพิ่มขึ้นอย่างช้าๆ ในขณะที่  $K_{\text{OL}}a$  ของ MEK และของทูโลอินมีค่าเกือบคงที่ตลอดช่วงของความเร็วลมนี้ และมีค่าใกล้เคียงกับกรณีที่ไม่มีกระแสลมพัดผ่าน ( $U_{10\text{cm}} = 0 \text{ m s}^{-1}$ ) หรือกล่าวอีกนัยหนึ่งได้ว่าความเร็วลมน้อยกว่า  $2.4 \text{ m s}^{-1}$  มันไม่สูงพอที่จะทำให้เกิดความปั่นป่วนในวัฏภาพของเหลวจึงไม่สามารถทำให้เกิดการระเหยของ VOC จากน้ำเสียได้อย่างมีนัยสำคัญ แต่เมื่อ  $U_{10\text{cm}} > 2.4 \text{ m s}^{-1}$  พบร่วมกับ  $K_{\text{OL}}a$  ของ VOC ทั้ง 3 ประเภทแปรผันกับความเร็วลมอย่างมีนัยสำคัญ โดยเฉพาะของทูโลอินซึ่งระเหยได้อย่างนั้นพบว่าการเพิ่มขึ้นของความเร็วลมในช่วงนี้มีผลต่อการระเหยของทูโลอินอย่างชัดเจนซึ่งเห็นได้จากความชันของเส้นกราฟที่เปลี่ยนไปอย่างมาก

Figure 4 เปรียบเทียบระหว่าง  $K_{\text{OL}}a$  ของ MEK ที่ระเหยจากน้ำเสียกับกรณีที่ระเหยจากน้ำบริสุทธิ์ที่ความเร็วลมต่างๆ

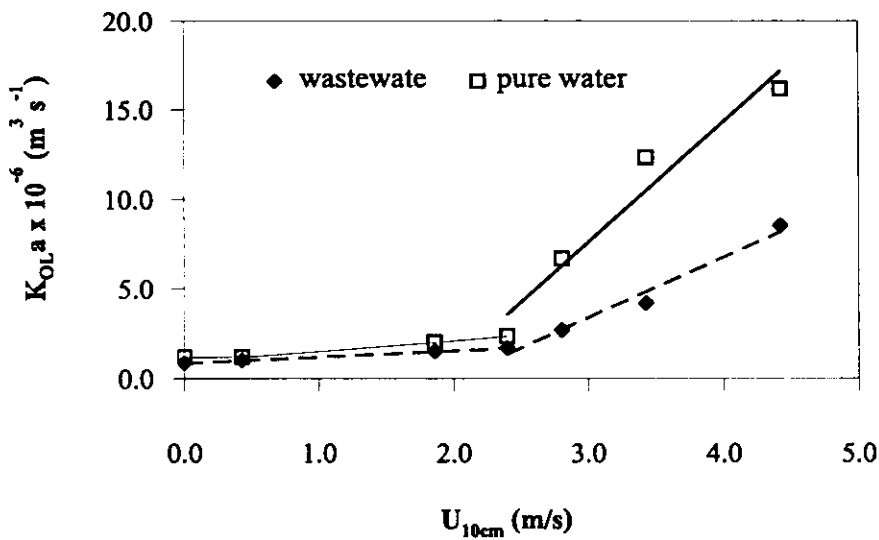


Figure 4. The comparison between  $K_{OLa}$  of MEK volatilization from wastewater (BOD 50-98 mg/L, COD = 2320-2960 mg/L and SS = 27-38 mg/L) and that from pure water at  $T_{water} = 29 \pm 1^\circ\text{C}$  and a water depth of 20 cm.

จากรูปดังกล่าวพบว่าในช่วงของความเร็วลมต่ำๆ ( $U_{10cm} < 2.4 \text{ m s}^{-1}$ ) ความแตกต่างระหว่าง  $K_{OLa}$  ของ MEK ที่ระเหยจากน้ำเสียกับที่ระเหยจากน้ำบริสุทธิ์มีค่าโดยเฉลี่ยประมาณ 27% และความแตกต่างดังกล่าวเพรียบเทียบกับความเร็วลมที่เพิ่มขึ้นอย่างมาก ผลการทดลองแสดงให้เห็นอย่างชัดเจนว่าสารประกอบอินทรีย์ (organic mass) ที่อยู่ในน้ำเสียสามารถลดการระเหยของ MEK จากน้ำเสียได้ซึ่งเกิดจากกลไกการกัดกร่อนที่ของไม่เลกฤทธิ์ของ MEK ในน้ำเสียทำให้การระเหยของ MEK ลดลงเมื่อเทียบกับการระเหยจากน้ำบริสุทธิ์ซึ่งไม่มีกลไกดังกล่าว และจากการที่ความแตกต่างระหว่าง  $K_{OLa}$  ของ MEK ที่ระเหยจากน้ำเสียกับที่ระเหยจากน้ำบริสุทธิ์มีค่าเกือบคงที่ในช่วงความเร็วลมต่ำๆ แสดงให้เห็นว่าขนาดของความเร็วลมในช่วงดังกล่าวไม่สามารถทำให้เกิดความปั่นป่วนในวัฏจักรของเหลวในระบบที่ศึกษาได้ ความแตกต่างระหว่าง  $K_{OLa}$  ของ MEK ที่ระเหยจากน้ำเสียกับที่ระเหยจากน้ำบริสุทธิ์เป็นผลมาจากการกัดกร่อนของ MEK ที่ระเหยจากน้ำเสียเพียงอย่างเดียว

อย่างไรก็ตามเมื่อความเร็วลมสูงกว่า  $2.4 \text{ m s}^{-1}$  พนวณว่า  $K_{OLa}$  ของ MEK ที่ระเหยจากน้ำบริสุทธิ์มีค่าแตกต่างจาก  $K_{OLa}$  ของ MEK ที่ระเหยจากน้ำเสียอย่างมีนัยสำคัญและความแตกต่างนี้จะเพิ่มขึ้นเมื่อความเร็วลมสูงขึ้น ผลการทดลองนี้ยืนยันว่าสารอินทรีย์ที่อยู่ในน้ำเสียทำหน้าที่กัดกร่อนการระเหยและลดความปั่นป่วนในน้ำเสีย เมื่อ Jong ใจความและผลลัพธ์ได้ศึกษา  $K_{OLa}$  ของ MEK ที่ระเหยจากน้ำเสียนี้ค่าต่ำกว่าที่ระเหยจากน้ำบริสุทธิ์อย่างมีนัยสำคัญ จากความแตกต่างระหว่าง  $K_{OLa}$  ของ MEK ที่ระเหยจากน้ำบริสุทธิ์กับ  $K_{OLa}$  ของ MEK ที่ระเหยจากน้ำเสียแสดงว่าสัมประสิทธิ์การถ่ายโอนมวลที่ใช้ทำงานการระเหยของ VOC จากน้ำเสียที่พัฒนาขึ้นมาจากการศึกษาการระเหยของ VOC จากน้ำบริสุทธิ์และใช้กันอยู่ทั่วไปนั้นไม่น่าจะทำงานการระเหยของ VOC จากน้ำ

เสบไดคี การใช้สัมประสิทธิ์ฟิล์มแก๊สและสัมประสิทธิ์ฟิล์มของเหลวที่ได้จากการระเหยของ VOC จากน้ำเสีย โดยตรงจะเป็นแนวทางที่ดีกว่า

สัมประสิทธิ์ฟิล์มแก๊สสำหรับการระเหยของ VOC จากน้ำเสีย,  $k_G a_{VOC}$

สัมประสิทธิ์ฟิล์มแก๊สของ VOC ที่ระเหยจากน้ำเสียคำนวณได้จากสัมประสิทธิ์ฟิล์มแก๊สของเมทานอล ( $k_G a_{MeOH}$ ) ดังแสดงด้วยสมการ (6) โดยที่  $k_G a_{MeOH}$  คำนวณได้จาก  $K_{OL} a$  ของเมทานอลตามสมการ (5) Figure 5 แสดงข้อมูลของ  $k_G a_{MeOH}$  ที่คำนวณได้กับความเร็วลมเฉลี่ยหนึ่งผิวน้ำ ( $U_{10cm}$ ) ในช่วงที่ศึกษา

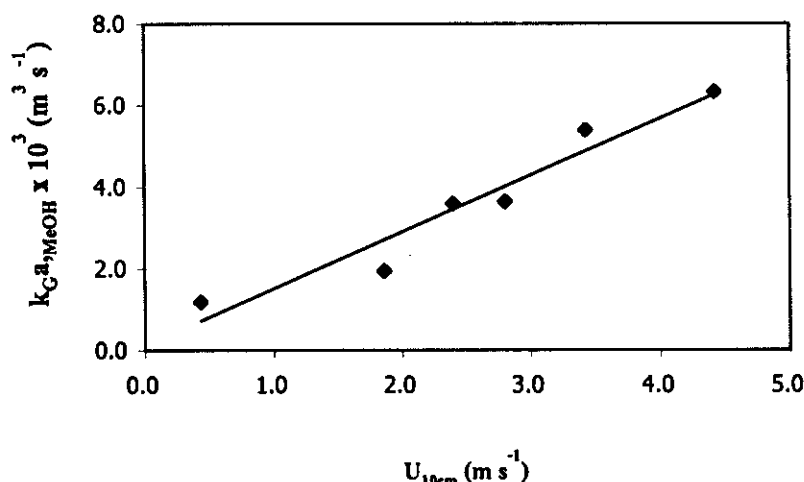


Figure 5.  $K_G a_{MeOH}$  of methanol in wastewater as a function of wind speed ( $T_{wastewater} = 29 \pm 1^\circ C$ , water depth = 20 cm and wastewater properties: BOD 50-98 mg/L, COD = 2320-2960 mg/L and SS = 27-38 mg/L)

จาก Figure 5 พนวณความสัมพันธ์ระหว่าง  $k_G a_{MeOH}$  กับ  $U_{10cm}$  มีลักษณะเป็นกราฟเส้นตรงที่สามารถแทนได้ด้วยสมการ (10) โดยมีค่า  $R^2 = 0.94$

$$k_G a_{MeOH} = 1.39 \times 10^{-3} U_{10cm} + 1.22 \times 10^{-4}, 0 \leq U_{10cm} \leq 4.42 \text{ ms}^{-1} \quad (10)$$

ความสัมพันธ์แบบเชิงเส้นระหว่าง  $k_G a_{MeOH}$  กับ  $U_{10cm}$  ที่ได้จากการระเหยของเมทานอลจากน้ำเสียในงานวิจัยนี้ สอดคล้องกับกรณีของการระเหยของเมทานอลจากน้ำบริสุทธิ์ที่เคยศึกษาไว้ก่อนหน้านี้ (Bunyakan et al., 2001; Liss, 1974) แต่การระเหยของเมทานอลจากน้ำเสียจะให้ค่า  $k_G a_{MeOH}$  ที่ต่ำกว่าอย่างชัดเจนดังแสดงเปรียบเทียบใน Figure 6 ความแตกต่างดังกล่าวเป็นผลจากกลไกการกัดกันการระเหยและกลไกการลดความปั่นป่วนในน้ำเสีย เนื่องจากสารอินทรีย์ที่แขวนลอยอยู่ในน้ำเสียมีผลต่อการระเหยของ VOCs ดังที่ได้กล่าวมาแล้ว งานวิจัยจึงเสนอ สัมประสิทธิ์ฟิล์มแก๊สสำหรับใช้ทำนายการระเหยของ VOC จากน้ำเสียใหม่โดยใช้ค่าสัมประสิทธิ์ฟิล์มแก๊สของ เมทานอลที่ระเหยจากน้ำเสียจริงและปรับแก้สำหรับ VOC ไดๆ โดยอาศัยความสัมพันธ์ระหว่างสัมประสิทธิ์ ฟิล์มแก๊สกับสัมประสิทธิ์การแพร่ตาน้ำ (6) จะได้สมการสัมประสิทธิ์ฟิล์มแก๊สของ VOC ไดๆ ดังแสดง ด้วยสมการ (11)

$$k_G a_{VOC} = [1.39 \times 10^{-3} U_{10cm} + 1.22 \times 10^{-4}] \left[ \frac{D_{VOC-air}}{D_{MeOH-air}} \right] \quad (11)$$

สมการ (11) สามารถใช้คำนวณค่าสัมประสิทธิ์พิล์มน้ำมันของ VOC ได้ ที่ระเหยจากน้ำเสียได้ การตรวจความถูกต้องของสมการนี้โดยใช้คำนวณสัมประสิทธิ์การถ่ายโอนมวลรวมของ VOC ได้ ที่สนใจตามสมการ (2) จะกล่าวถึงในหัวข้อต่อไป

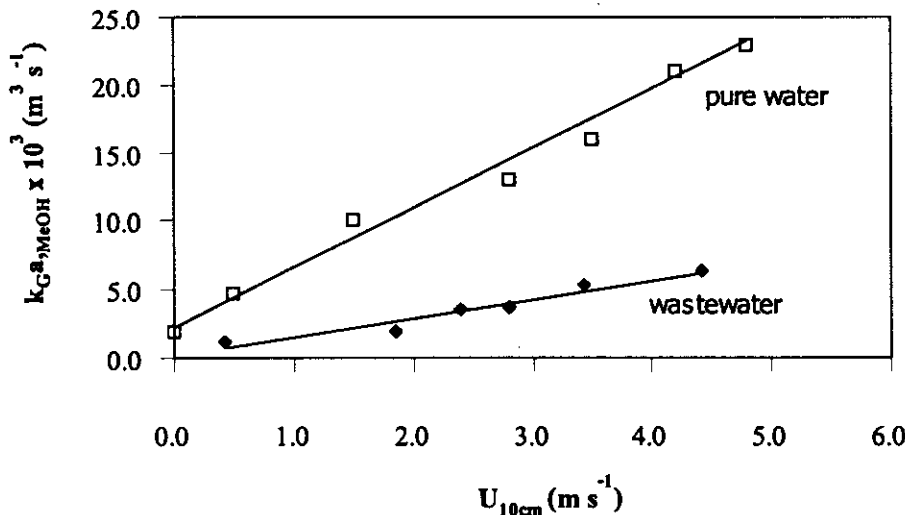


Figure 6. The comparison between  $K_G a_{MeOH}$  of methanol volatilization from wastewater (BOD 50-98 mg/L, COD = 2320-2960 mg/L and SS = 27-38 mg/L) and that from pure water at  $T_{water} = 29 \pm 1^\circ C$  and a water depth of 20 cm.

### สัมประสิทธิ์พิล์มน้ำมันของเหลวสำหรับการระเหยของ VOC จากน้ำเสีย, $k_L a_{VOC}$

สัมประสิทธิ์พิล์มน้ำมันของ VOC ที่ระเหยจากน้ำเสียคำนวณได้จากสัมประสิทธิ์พิล์มน้ำมันของเหลวของทูโลอิน ( $k_L a_{Toluene}$ ) ดังแสดงด้วยสมการ (8) โดยที่  $k_L a_{Toluene}$  มีค่าเท่ากับ  $K_{OL} a$  ของทูโลอินตามสมการ (7) Figure 7 แสดงความสัมพันธ์ระหว่าง  $k_L a_{Toluene}$  กับความเร็วลมเฉลี่ยเหนือผิวน้ำ ( $U_{10cm}$ ) ในช่วงที่ศึกษา จาก Figure 7 พบว่าความสัมพันธ์ระหว่าง  $k_L a_{Toluene}$  กับ  $U_{10cm}$  สามารถแบ่งได้เป็น 2 ช่วง คือช่วงความเร็วลมต่ำ ( $U_{10cm} \leq 2.4 \text{ m s}^{-1}$ )  $k_L a_{Toluene}$  ไม่แปรเปลี่ยนกับความเร็วลม โดยมีค่าเฉลี่ยเท่ากับ  $3.35 \times 10^{-6} \text{ m}^3 \text{ s}^{-1}$  ในขณะที่ที่  $U_{10cm} > 2.4 \text{ m s}^{-1}$  ความสัมพันธ์ระหว่าง  $k_L a_{Toluene}$  กับ  $U_{10cm}$  มีลักษณะเป็นเชิงเส้นที่ ดังนั้นสมการแสดงความสัมพันธ์ระหว่าง  $k_L a_{Toluene}$  กับ  $U_{10cm}$  ตลอดช่วงของความเร็วลมที่ศึกษาคือ

$$k_L a_{Toluene} = 3.35 \times 10^{-6}, U_{10cm} \leq 2.4 \text{ m s}^{-1} \quad (12)$$

$$\text{และ } k_L a_{Toluene} = 7.67 \times 10^{-6} U_{10cm} - 1.64 \times 10^{-5}, 2.4 < U_{10cm} \leq 4.42 \text{ m s}^{-1} \quad (13)$$

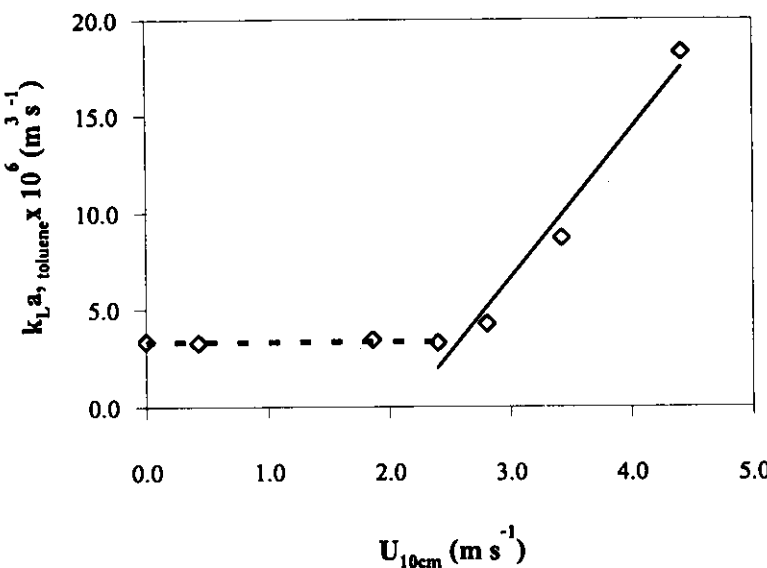


Figure 7.  $k_L a_{toluene}$  of toluene in wastewater as a function of wind speed ( $T_{wastewater} = 29 \pm 1^\circ\text{C}$ , water depth = 20 cm and wastewater properties: BOD 50-98 mg/L, COD = 2320-2960 mg/L and SS = 27-38 mg/L)

ความสัมพันธ์ระหว่าง  $k_L a_{Toluene}$  กับ  $U_{10cm}$  ที่ได้จากการระเบยของทุ่นโลหินจากน้ำเสียในงานวิจัยนี้มีการเปลี่ยนความชันที่ความเร็วลมเท่ากับ  $2.44 \text{ m s}^{-1}$  ให้ผลที่สอดคล้องกับกรณีของการระเบยของทุ่นโลหินจากน้ำบริสุทธิ์ที่เคยศึกษาไว้ก่อนหน้านี้ (Bunyakan et al., 2001) ที่พบจะเปลี่ยนของความชันที่ความเร็วลมเท่ากับ  $2.58 \text{ m s}^{-1}$  แต่การระเบยของทุ่นโลหินจากน้ำเสียจะให้ค่า  $k_L a_{Toluene}$  ที่ต่ำกว่ากรณีของการระเบยจากน้ำบริสุทธิ์อย่างชัดเจนดังแสดงเปรียบเทียบใน Figure 8 ความแตกต่างดังกล่าวเป็นผลจากกลไกการกิดกั้นการระเบยและกลไกการลดความปั่นป่วนในน้ำเสียเนื่องจากสารอินทรีย์ที่แขวนลอยอยู่ในน้ำเสียดังที่ได้กล่าวมาแล้ว สมมุติฐานที่เชื่อว่าความเจือจางของ VOC ในน้ำเสียจะทำให้ VOC มีพฤติกรรมการถ่ายโอนมวลเหมือนกับในน้ำบริสุทธิ์และสามารถใช้สัมประสิทธิ์ฟิล์มของเหลวที่ได้จากการระเบยของ VOC จากน้ำบริสุทธิ์ในการคำนวณการระเบยของ VOC จากน้ำเสียซึ่งไม่ถูกต้องอีกต่อไป งานวิจัยจึงเสนอสัมประสิทธิ์ฟิล์มของเหลวสำหรับใช้คำนวณการระเบยของ VOC จากน้ำเสียใหม่โดยใช้ค่าสัมประสิทธิ์ฟิล์มของเหลวของทุ่นโลหินที่ระเบยจากน้ำเสียจริงและปรับแก้สำหรับ VOC ได้ฯ โดยอาศัยความสัมพันธ์ระหว่างสัมประสิทธิ์ฟิล์มของเหลวกับสัมประสิทธิ์การแพร่ตามสมการ (8) จะได้สมการสัมประสิทธิ์ฟิล์มของเหลวของ VOC ได้ฯ ดังแสดงด้วยสมการ (14) และ

$$(14) k_L a_{VOC} = 3.35 \times 10^{-6} \left[ \frac{D_{VOC-liquid}}{D_{Toluene-liquid}} \right], U_{10cm} \leq 4.42 \text{ m s}^{-1}$$

$$\text{และ } k_L a_{VOC} = [7.67 \times 10^{-6} U_{10cm} - 1.64 \times 10^{-5}] \left[ \frac{D_{VOC-liquid}}{D_{Toluene-liquid}} \right], 2.4 < U_{10cm} \leq 4.42 \text{ m s}^{-1} \quad (15)$$

สมการ (14) และสมการ (15) สามารถใช้คำนวณค่าสัมประสิทธิ์ฟิล์มของเหลวของ VOC ได้ ที่ระเหยจากน้ำเสีย ได้ การตรวจสอบความถูกต้องของสมการนี้โดยใช้คำนวณค่าสัมประสิทธิ์การถ่ายโอนมวลรวมของ VOC ได้ ที่สนใจ ตามสมการ (2) จะกล่าวถึงในหัวข้อต่อไป

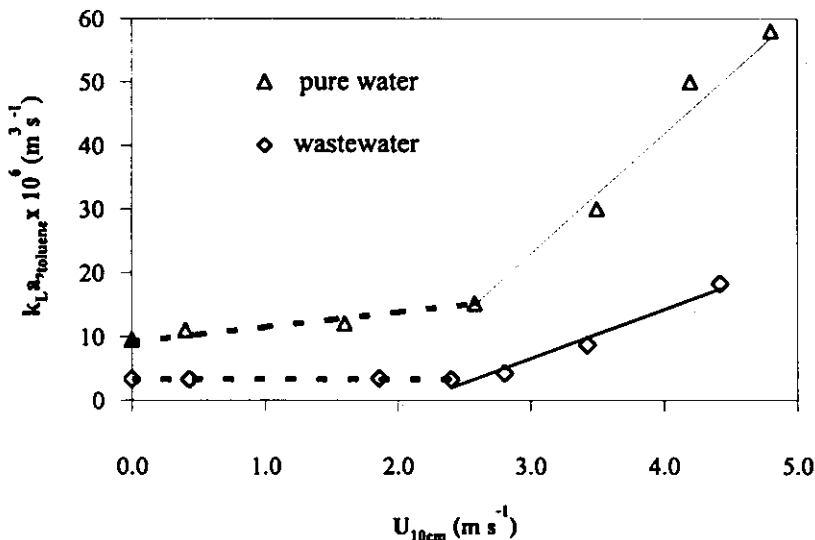


Figure 8. The comparison between  $K_L a_{\text{toluene}}$  of toluene volatilization from wastewater (BOD 50-98 mg/L, COD = 2320-2960 mg/L and SS = 27-38 mg/L) and that from pure water at  $T_{\text{water}} = 29 \pm 1^\circ\text{C}$  and a water depth of 20 cm.

สัมประสิทธิ์การถ่ายโอนมวลรวมของ VOC: เปรียบเทียบระหว่างการทำนายน้ำเสียแบบจำลองกับผลการทดลอง

ในส่วนสุดท้ายของการวิจัยนี้ได้ทำการตรวจสอบความถูกต้องของสมการสัมประสิทธิ์ฟิล์มแก๊ส (สมการ (11)) และสมการสัมประสิทธิ์ฟิล์มของเหลว (สมการ (14) และ (15)) ที่พัฒนาขึ้น โดยใช้คำนวณสัมประสิทธิ์การถ่ายโอนมวลรวมของ MEK (ตามสมการ (2)) และเปรียบเทียบกับค่าที่วัดได้จากการทดลอง โดยตรง ผลการคำนวณ  $K_{OLa}$  ของ MEK โดยใช้ชุดสมการข้างต้นแสดงเบริญบุเทียบกับค่าที่วัด ได้จริงจากการระเหยของ MEK จากน้ำเสียและน้ำบริสุทธิ์ดังแสดงใน Figure 9 จากรูปดังกล่าวจะเห็นได้ว่าชุดสมการสัมประสิทธิ์ฟิล์มแก๊สและสัมประสิทธิ์ฟิล์มของเหลวที่พัฒนาขึ้นจากการระเหยของ VOCs จากน้ำเสียทำนาย  $K_{OLa}$  ของ MEK ที่ระเหยจากน้ำเสียได้ตกลงช่วงความเร็วลมที่ศึกษา แต่ทำนาย  $K_{OLa}$  ของ MEK ที่ระเหยจากน้ำบริสุทธิ์ต่างกว่าค่าที่วัดได้จริง ซึ่งจะเห็นอย่างชัดเจนเมื่อความเร็วลมสูงขึ้น ทั้งนี้เกิดจากความแตกต่างระหว่างคุณลักษณะของน้ำเสียกับน้ำบริสุทธิ์ดังที่ได้กล่าวมาแล้ว สมการ  $k_G a_{VOC}$  และสมการ  $k_L a_{VOC}$  ที่พัฒนาขึ้นจากการ

ระเหยของ VOCs จากน้ำเสียจริงในการศึกษานี้ จึงเหมาะสมสำหรับใช้ทำนายการระเหยของ VOC จากน้ำเสียมากกว่าการใช้สมการที่พัฒนาขึ้นมาจากการระเหยของ VOCs จากน้ำบริสุทธิ์ที่มีรายงานไว้ทั่วไป

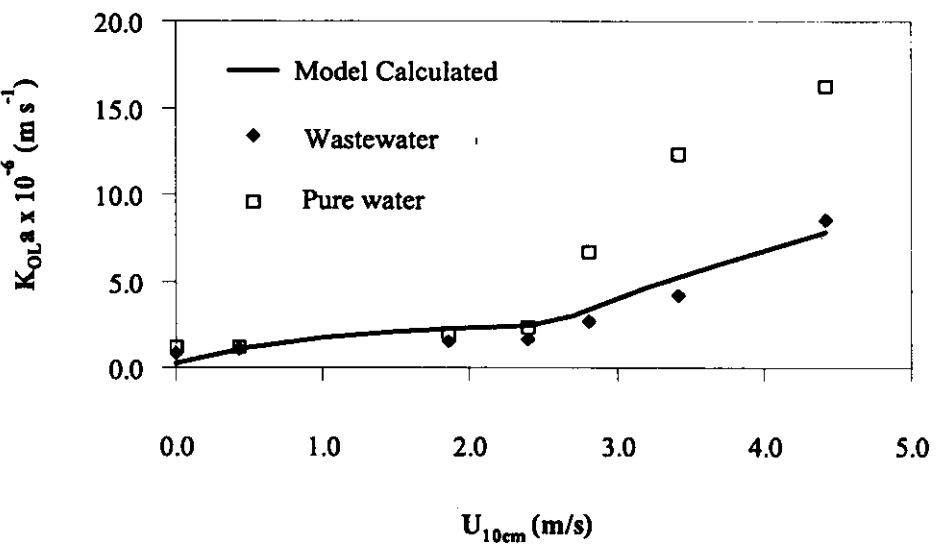


Figure 9 The comparison between predicted  $K_{OL}a_{MEK}$  of MEK volatilization from wastewater and from pure water.

## สรุปผลการทดลอง

การศึกษาการระเหยของสารอินทรีย์ระเหยจากน้ำเสียที่ความเร็วลมเนือดิวน้ำต่างๆ ในถังระเหยขนาด 100 L พบว่าสัมประสิทธิ์ฟิล์มแก๊สของเมทานอลเพิ่มขึ้นกับ  $U_{10cm}$  ที่เพิ่มขึ้นแบบเชิงเส้นตลอดช่วงของ  $U_{10cm}$  ที่ศึกษา ในขณะที่สัมประสิทธิ์ฟิล์มของเหลวของทุโโลอีนแบ่งออกเป็นสองช่วง โดยมีจุดเปลี่ยนที่  $U_{10cm}$  เท่ากับ 2.4  $m\ s^{-1}$  สมการของ  $k_G a_{VOC}$  และสมการของ  $k_L a_{VOC}$  ถูกพัฒนาขึ้นจากข้อมูลการระเหยของเมทานอลและของทุโโลอีนจากน้ำเสียตามลำดับ และได้ตรวจสอบความถูกต้องของสมการดังกล่าวโดยใช้ทำนาย  $K_{OL}a$  ของ MEK ที่ระเหยจากน้ำเสีย ผลการตรวจสอบพบว่าสมการ  $k_G a_{VOC}$  และ  $k_L a_{VOC}$  ที่พัฒนาขึ้นจากการระเหยของ VOCs จากน้ำเสียทำนาย  $K_{OL}a$  ของ MEK ที่ระเหยจากน้ำเสียได้ดีเด่นทำนาย  $K_{OL}a$  ของ MEK ที่ระเหยจากน้ำบริสุทธิ์ค่อนข้างดีกว่าค่าที่วัดได้จริง การศึกษานี้ยังพบว่า  $K_{OL}a$  ของ VOCs ที่ระเหยจากน้ำบริสุทธิ์มีค่าสูงกว่า  $K_{OL}a$  ของ VOCs ที่ระเหยจากน้ำเสียนาก สมการ  $k_G a_{VOC}$  และสมการ  $k_L a_{VOC}$  ที่พัฒนาขึ้นจากการระเหยของ VOCs จากน้ำเสียจริงในการศึกษานี้ จึงเหมาะสมสำหรับใช้ทำนายการระเหยของ VOC จากน้ำเสียมากกว่าการใช้สมการที่พัฒนาขึ้นมาจากการระเหยของ VOCs จากน้ำบริสุทธิ์ที่มีรายงานไว้ทั่วไป

## ເອກສານອ້າງອິນ

- Aneja, V.P., Bunton, B. Walker, J.T., Malik, B.P. 2001. Measurement and Analysis of Atmospheric Ammonia Emissions from Anaerobic Lagoons. *Atmospheric Environment*. 35: 1949-1958.
- Bunyakan, C., Tongsoi, P. and Tongurai, C. 2001. Film Mass Transfer Coefficient for the Prediction of Volatile Organic Compound Evaporation Rate from Open Water Basin. *Songklanakrin J. Sci. Technol.* 23(4): 563-577.
- Bunyakan, C. 1998. Mass Transfer Coefficient for Surface Impoundments and the Reduction of Volatile Organic Compound Emissions. Ph.D. Dissertation. Vanderbilt University. Nashville TN. USA.
- Corsi, R.L. 1991. Estimation of VOC Emissions Using the BASTE Model. *Environmental Progress*. 10(4):290-299.
- Escalas, A., Guadayol, J.M., Cortina, M., Rivera, J., and Caixach, J. 2003. Time and Space Patterns of Volatile Organic Compounds in a Sewage Treatment Plant. *Water Research*. 37: 3913-3920
- Hwang, S.T. 1981. Treatability and Pathways of Priority Pollutants in the Biological Wastewater Treatment. *AIChE Symposium Series*. 209 (77):316-326.
- Lin, T.Y., Sree, U., Tseng, S.H., Chiu, K.H., Wu, C.H., Lo, J.G. 2004. Volatile Organic Compound Concentrations in Ambient Air of Kaohsiung Petroleum Refinery in Taiwan. *Atmospheric Environment*. 38: 4111-4122
- Liss, P. S. 1973. Processes of Gas Exchange Across an Air-water Interface. *Deep-Sea Research*. 20: 221-238
- Lunney, P.D., Springer, C., Thibodeaux, L.J. 1985. Liquid-Phase Mass Transfer Coefficients for Surface Impoundments. *Environmental Progress*. 4(3), 203-211.
- Mackay, D., and Yeun, A.T.K. 1983. Mass Transfer Coefficient Correlations for Volatilization of Organic Solutes from Water. *Environ. Sci. Technol.* 17: 211-217
- Mackay, D., and Leinonen, P.J. 1975. Rate of Evaporation of Low-Solubility Contaminants from Water Bodies to Atmosphere. *Environ. Sci. Techn. 9(13)*: 1178-1180.
- Sadek, S.E., Smith, J.D., Watkin, A.T., Gebel, R. 1996. Mass Transfer of Volatile Organics from Large Open Basins. *Environmental Progress*. 15(2): 82-92.
- Zierold, M.K. 1996. Henry's Law Constants of Selected VOCs: Experimentally Determined and Estimated Values. Master Thesis. Vanderbilt University. Nashville TN. USA.